

III-17 不飽和粘性土の伸張状態における挙動について

早大 正 後藤正司
早大 正 鵜引恵一
早大院 学。辻田亮二

1 はじめに

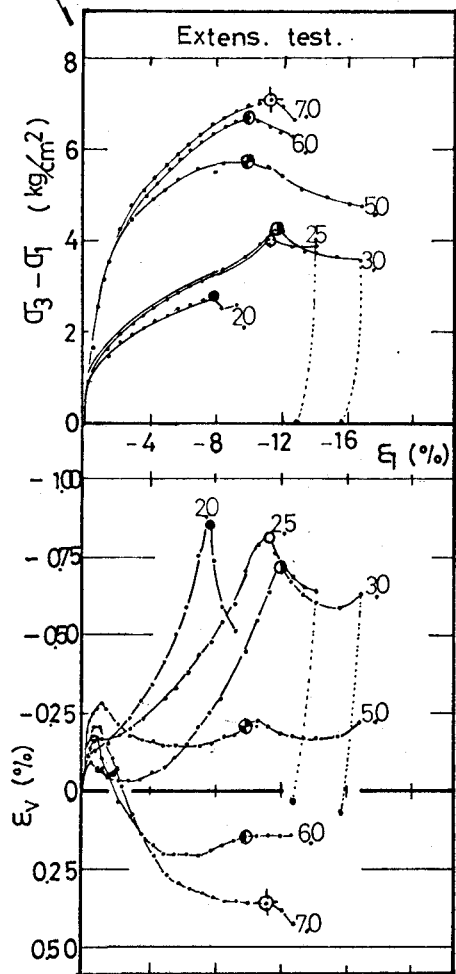
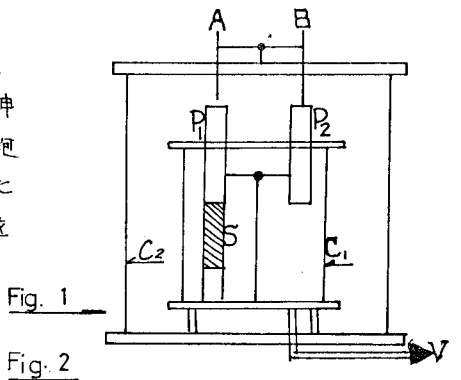
不飽和粘性土の非圧密非排水条件の三軸圧縮挙動に関しては、既に鵜引により研究結果が報告されている。^{り~4)}一方、三軸伸張状態に対しては、飽和粘性土に関する研究も少ないと、不飽和粘性土に関するものはほとんど無い。本報告は、静的に荷重を加えた成型試料を用いて、非圧密非排水条件下での三軸伸張試験結果を体積変化挙動、強度特性を中心に述べるものである。

2 供試体および試験方法

供試体は、定含水比のカオリン粘土をモールド中で静的に圧縮成型して得られた不飽和カオリン粘土であり、その諸性質は、次のようにある。高さ $H = 7.15 \text{ cm}$, 直径 $D = 3.50 \text{ cm}$, $e = 0.740$, $S_r = 92\%$, $\gamma_d = 1.550$

この供試体はモールド中で側方変位の無い状態で圧縮成型されたものであるから、 K_0 圧密試料に近い性質を持つ事が推定される。 K_0 値としましては、既に約 0.57 と著えらるる事が示されてゐる。³⁾また、成型時に供試体に加えられた有効鉛直圧は、約 6 kN/cm^2 である。試験装置は Fig. 1 に示す二重セルを用いた。ピストン P_1, P_2 は、供試体と同直径である。 P_1 と P_2 は連結されており、 P_1 のセル内への貯入量と同量だけ P_2 のセルから出る。体積変化は、内セル (C_1) 内の水を体積変化管に導き、その水位の変化により測定する。この時、ピストンの貯入による水位の変化は、連結された他のピストンにより消去され、水位の変化は、供試体の体積変化のみを示す。

載荷は主としてひずみ制御 (0.62 mm/min.) により行なったが、比較のために応力制御も行なつてある。 $(0.2 \text{ kgf/cm}^2/\text{min.})$ ひずみ制御では、側圧 O_3 一定の条件を行なつた。圧縮試験では、Fig. 1 の外セル C_2 の貯入棒 A を介して P_1 を押し、伸張試験では、 B を介して P_2 を押す事により載荷 (荷重) する。一方、応力制御では、側圧 O_3 一定で軸圧 O_1 を増減させる場合と、軸圧 O_1 一定で側圧 O_3 を増減させる場合を行なつてある。すなわち圧縮では、 O_3 一定での増大、または O_1 一定での減少の 2通り、伸張も同様の手法で 2通り行なつた。



3. 試験結果および考察

ひずみ制御により行なった三軸伸張試験結果の一例を Fig. 2 に示す。縦軸は、軸差応力 ($\sigma_3 - \sigma_1$) kg/cm^2 と体積ひずみ ε_1 (%)、横軸は、軸ひずみ ϵ_1 (%) である。軸ひずみ、体積ひずみは、圧縮または収縮を正とする。また、図中の各曲線に添えた数字は、側圧を示す。図より明らかのように、 $(\sigma_3 - \sigma_1)$ の最大値を過ぎると、 ε_1 が急減する事が明らかである。また、側圧一定の伸張試験では、セン断の進行とともに、平均主応力は減少するが、本試験において正規圧密状態にあると考えられる $6 \text{ kg/cm}^2 < \sigma_3$ の場合に、セン断初期の膨張と除くと体積が減少するという事が示された。ひずみ制御法による圧縮試験 (σ_1 へ δ 曲線、 ε_1 へ δ 曲線は、既発表のもととはほぼ同一の傾向を示したので省略する。) と伸張試験結果を、Fig. 3 に示す。図中の θ_e は、圧縮試験における中 (中_c) と同一の中を持つ仮定で得た伸張時の破壊線と横軸のなす角である。実験結果は、 θ_e' の角で示される破壊線となり、 ϕ_c や ϕ_e が示された。 $(\phi_e : \text{伸張試験結果より得た中})$ Fig. 4 には、応力制御により得られた結果を示した。 σ_3 一定、 σ_1 一定の条件による破壊線は、同一であると考えられる。この応力制御により得られた中_e と ϕ_e も異なっていた。また、ひずみ制御と応力制御では、破壊包络線が一致していなかった。さて、上述のように中_e や ϕ_e である事が示されたが、Table 1 に各数値を示しておく。

この ϕ_e や ϕ_e' の原因としては幾つかの要因をあげる事が出来るが、ここでは、本試験に用いた供試体が、成型時に K。圧縮された結果生じた異方性を主たる原因と考える。Parry ら⁵⁾によて行なわれた鉛和カオリイン粘土の試験結果によれば、K。圧密試料により得られた中_e は、等方圧密試料に比較して ϕ_e と ϕ_e' の差が大きく、 $\phi_e > \phi_e'$ である事が示されている。本試験の試料の異方性は、Parry ら⁵⁾の結果に示されている K。圧密試料の剛性係数の変化率と本試験の体積変化率の定性的一致を裏付として参考になる。

- 1) 後藤 稔引： 第25回土木学会年次学術講演会 II-66
- 2) 稔引 恵一： 第26回 “” II-27
- 3) 稔引： 第27回土木学会年次学術講演会 57
- 4) 稔引： 第27回土木学会年次学術講演会 II-55
- 5) Parry R. H. G., Nadarajah V. Geotech. Vol. 20, No. 3 '73

Fig. 3 Strain Control

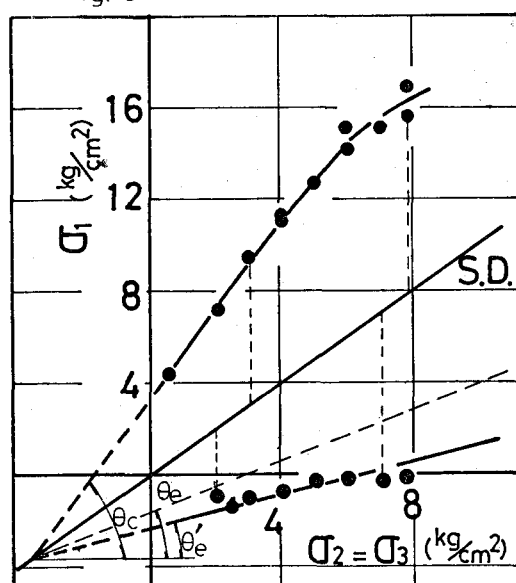
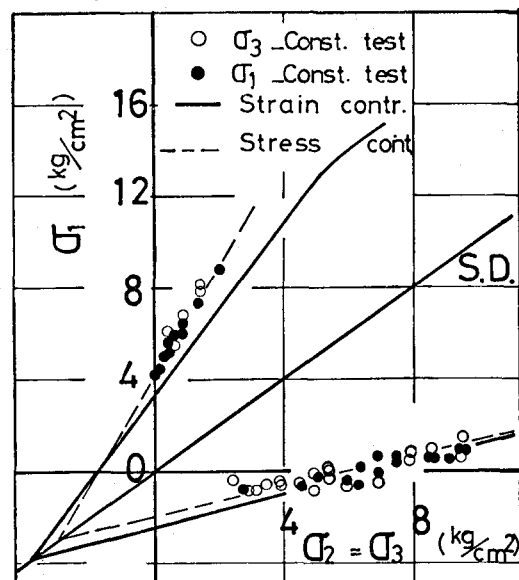


Fig. 4 Stress Control



strain control	ϕ_e	19°
stress control	ϕ_e	28°
strain control	ϕ_c	23°
stress control	ϕ_c	32°

Table 1